

BEZPIESTNICOVÉ PRIAMOČIARE PNEUMOTORY

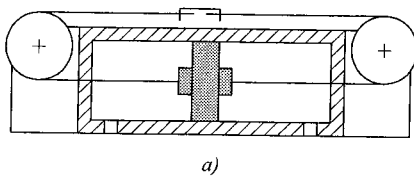
Igor STRÁŽOVEC

Pri konštrúovaní strojov a zariadení sa často stretávame s nedostatkom priestoru pre zabudovanie priamočiareho pneumatického pohonu. Piestnicové pneumotory je potrebujú pre zabudovanie priestor o niečo väčší ako dvojnásobok potrebného (efektívneho) zdvihu. Ak v konštrukcií nie je dostatok priestoru a tiež pri veľkých zdvihoch pneumotora (až niekoľko metrov) je potrebné voliť iné riešenie. V tomto prípade je vhodné použiť bezpiestnicové pneumatické motory.

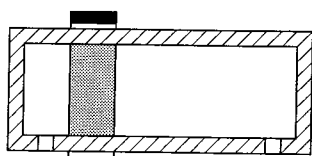
1. Úvod

Bezpiestnicové priamočiaré pneumotory sú odlišné od bežných priamočiarych pneumotorov svojou konštrukciou. Pohyb piesta nie je vyvedený na piestnicu, ale iným spôsobom na unášaciu prírubu. Podľa spôsobu vyvedenia pohybu piesta ich môžeme rozdeliť na:

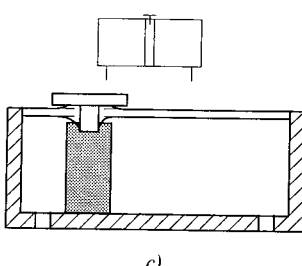
- bezpiestnicový s pružným kovovým pásom (obr. 1a),
- bezpiestnicový s unášaním príruby pomocou permanentného magnetu (obr. 1b),
- bezpiestnicový s unášacou prírubou a pozdĺžne utesneným valcom (obr. 1c).



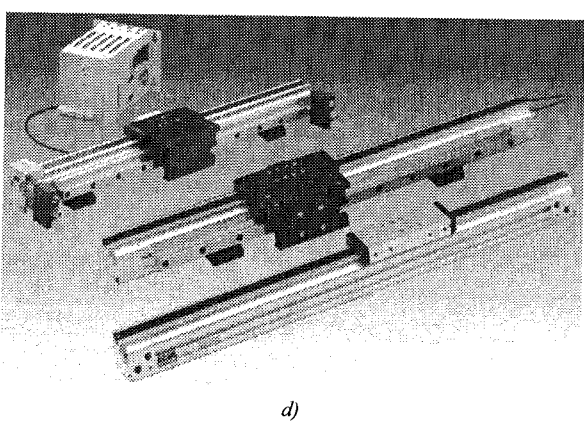
a)



b)

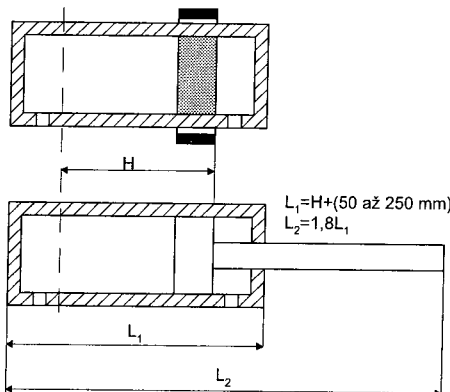


c)



Obr. 1. Konštrukcie bezpiestnicových pneumatických motorov

Jednou z najväčších výhod tejto konštrukcie je úspora miesta tejto konštrukcie hlavne pri veľmi veľkých zdvihoch.



Obr. 2. Porovnanie dĺžok priamočiarych pneumotorov

2. Návrh bezpiestnicového pneumotora

Podľa technických podkladov [2] navrhнемe základné parametre bezpiestnicového priamočiáreho pneumotora:

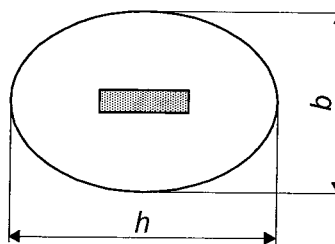
- priemer piesta a plocha piesta,
- kontrola tlmenia,
- prípustné zaťaženie vodiacej príruby,
- priebyt pneumatika.

Standardné technické parametre bezpiestnicových pneumatikov:

- maximálny pracovný pretlak: $p_{\max} = 0,8 - 1 \text{ MPa}$,
- maximálna rýchlosť piesta: $v_{\max} = 2 \text{ m.s}^{-1}$,
- vyrábané priemery piesta: $D = 25; 32; 40; 50; 63 \text{ mm}$,
- maximálny zdvih: $H_{\max} = 6200 \text{ mm}$.

Pneumotory majú vnútorné tlmenie v koncových položkách, kde tlmiaca dráha má dĺžku 28 až 60 mm v závislosti od D s prípustnou tlmiacou energiou W_{\max} a maximálnym tlakom na začiatku tlmenia $p_{\text{u}} = 1,2 \text{ MPa}$.

$$S = \frac{\pi}{4} \cdot b \cdot h = \frac{\pi}{4} \cdot D^2. \quad (1)$$



Obr. 3. Plocha piesta

Tab. 1.

Veľkosť tlmiacej energie v závislosti od priemeru piesta

| D [mm] | W_{\max} [N.m] | S [cm^2] |
|----------|------------------|-----------------------|
| 25 | 2,1 | 4,9 |
| 32 | 4,0 | 8,0 |
| 40 | 8,7 | 12,5 |
| 50 | 14,4 | 19,6 |
| 63 | 29,8 | 31,1 |

3. Výpočet zaťažujúcej sily a tlmiaceho tlaku

Celkovú zaťažujúcu silu znázornenú na obr. 4 vypočítame podľa vzťahu:

$$F_C = F_z + m_{\text{red}} \cdot g \cdot (\sin \alpha + f \cdot \cos \alpha). \quad (2)$$

Tlmiaci tlak podľa smeru pohybu potom bude:

$$\text{a)} \quad p_{\text{tl}} = p_1 + 10^{-2} \cdot \frac{F_C}{S} \quad (3)$$

$$\text{b)} \quad p_{\text{tl}} = p_1 - 10^{-2} \cdot \frac{F_C}{S} \quad (3)$$

$$p_{\text{tl}} \leq 1,2 \text{ MPa}$$

Z uvedených vzťahov je možné odvodiť výpočet aj pre inú orientáciu pneumotora. Pre vodorovné uloženie ($\alpha = 0^\circ$) potom platí:

$$F_C = F_z + m_{\text{red}} \cdot g \cdot f, \quad (4)$$

pre zvislú orientáciu t.j. $\alpha = 90^\circ$:

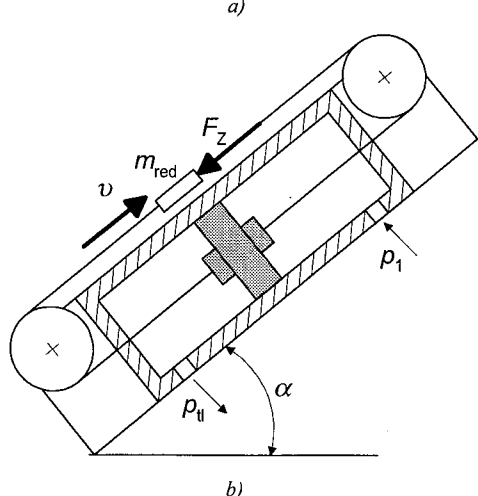
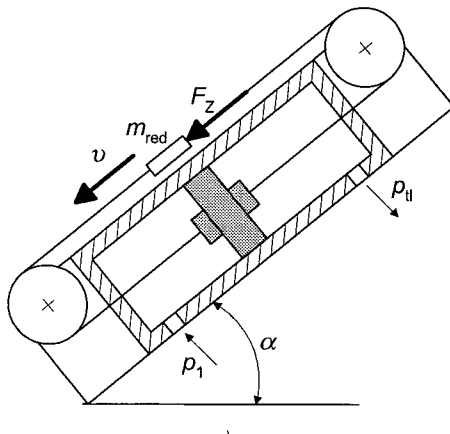
$$F_C = F_z + m_{\text{red}} \cdot g. \quad (5)$$

Ak nepôsobí žiadna vonkajšia sila, je možné vzťahy upraviť. Pre $F_z = 0$ a $\alpha = 0^\circ$:

$$F_C = m_{\text{red}} \cdot g \cdot f, \quad (6)$$

pre $F_z = 0$ a $\alpha = 90^\circ$:

$$F_C = m_{\text{red}} \cdot g \quad (7)$$



Obr. 4. Silové pomery na bezpiestnicovom pneumotore

4. Výpočet tlmiacej energie

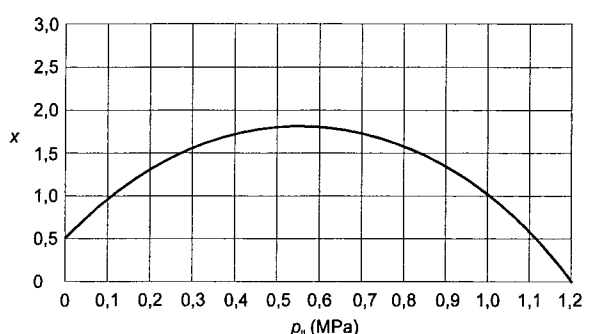
Tlmiaca energia je dôležitý faktor pri návrhu bezpiestnicového pneumotora. Čím je väčší priemer piesta tým je väčšia aj maximálna dovolená tlmiaca energia. Vypočítaním skutočnej tlhybovej energie a porovnaním s dovolenými

hodnotami tlmiacej energie v tab. I určíme priemer piesta a plochu piesta bezpiestnicového priamočiareho pneumotora. Podľa hodnoty priemeru piesta potom z katalógu vyberieme príslušný pneumotor. Skutočná kinetická energia je daná vzťahom:

$$W_K = \frac{1}{2} \cdot m_{\text{red}} \cdot v^2 \leq x \cdot W_{\text{max}}, \quad (8)$$

kde W_K [N.m] je kinetická energia, m_{red} [kg] redukovaná celková brzdená hmotnosť, x tlakový súčinatel' (volí sa z diagramu na obr. 5, pričom p_{tl} sa volí $p_{\text{tl}} = p_1$), W_{max} [N.m] maximálna tlmiaca energia, z tab. I. Zo vzťahu (8) môžeme vyjadriť:

$$W_{\text{max}} = \frac{m_{\text{red}} \cdot v^2}{2 \cdot x} \quad (9)$$



Obr. 5. Diagram závislosti $x(p_{\text{tl}})$

Aby kinetická energia W_K bola zvoleným pneumotorom ubrzdnená musí platiť podmienka:

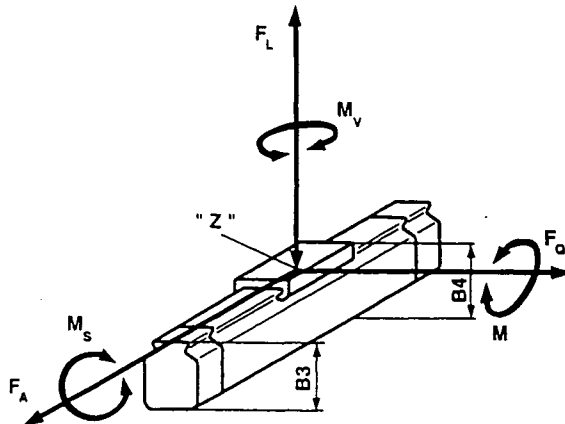
$$p_{\text{tl}} \leq 1,2 \text{ MPa} \quad (10)$$

Ak je podmienka (10) splnená, je bezpiestnicový pneumotor zvolený správne a kinetická energia bude tlmením v koncových polohách utlmená. Ak nie je podmienka (10) splnená je možné

- voliť motor s väčším priemerom piesta,
- znížiť pracovný tlak p_1 ,
- zvoliť dodatočné externé tlmenie,
- voliť kombináciu predchádzajúcich možností.

5. Výpočet zaťaženia unášacej prírubi

Pri zaťažení unášacej prírubi a jej vedenia prídavnými silami a momentmi dochádza k priečeniu a zvýšenému treniu, čo znižuje životnosť a prenášanú silu pneumotora, (obr. 6).



Obr. 6. Zataženie unášacej prírubi

Príruba a vedenie je možné zaťažiť tak, aby výslednica síl pôsobila v strede prírubi, na obr. 6 označený „Z“. Je určený konštrukciou pneumotora podľa priemeru piesta rozmermi B3 a B4. Musí sa prihliadnúť na zotvačnú silu F_t , pôsobiacu v tăžisku a v smere sily F_A . Stanoví sa z tlmiacej energie pri brzdení pohybujúcich sa redukovaných hmot m_{red} :

$$F_t = \frac{W_K}{H} = \frac{m_{\text{red}} \cdot v^2}{2 \cdot H} \quad (11)$$

Pre kontrolu vedenia sa stanoví ekvivalentná sila F s prihliadnutím na všetky vonkajšie sily F_L a F_Q a vonkajšie momenty M_S , M_V , M

$$F = F_L + 2 \cdot F_Q + \frac{C_O}{M_t} \cdot (2,7 \cdot M_S + 2 \cdot M_V + M) \quad (12)$$

Tab. 2

Hodnoty veličín pre výpočet ekvivalentnej sily

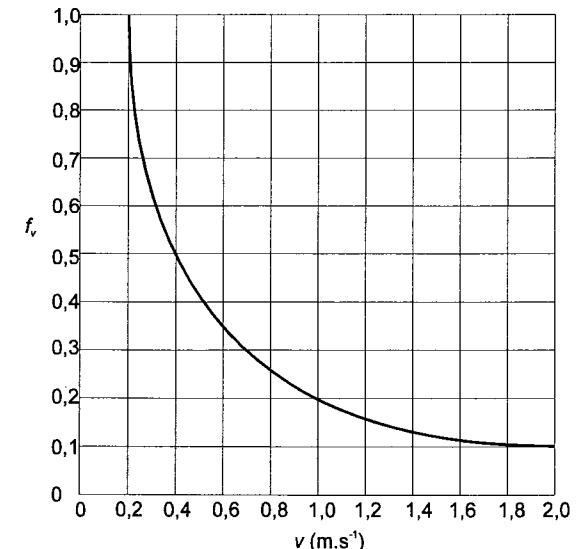
| \varnothing piesta [mm] | Statická únosnosť C_O [N] | Dovolený moment M_t [N.m 2] | B3 [mm] | B4 [mm] |
|---------------------------|-----------------------------|-----------------------------------|---------|---------|
| 25 | 420 | 20 | 56 | 64,2 |
| 32 | 600 | 34 | 65 | 75 |
| 40 | 920 | 60 | 82 | 93 |
| 50 | 1500 | 120 | 97,3 | 110,6 |
| 63 | 2360 | 240 | 124 | 143 |

Kontrola prevádzkovej bezpečnosti s:

$$s = \frac{C}{F} > 1, \quad (13)$$

$$C = C_O \cdot f_v, \quad (14)$$

kde C [N] je súčinatel' dynamickej únosnosti, C_O [N] súčinatel' statickej únosnosti a f_v rýchlosťny súčinatel'.



Obr. 7. Diagram priebehu závislosti $f_v(v)$

Pokiaľ nie je splnená podmienka $s > 1$:

- je potrebné zvoliť väčší priemer piesta,
- zvoliť pneumomotor s masívnejším vedením t.j. s vyššou únosnosťou,
- zmeniť rýchlosť piesta v ,
- voliť externé vedenie,
- voliť kombináciu predchádzajúcich možností.

6. Kontrola príhybu priamočiareho pneumotora

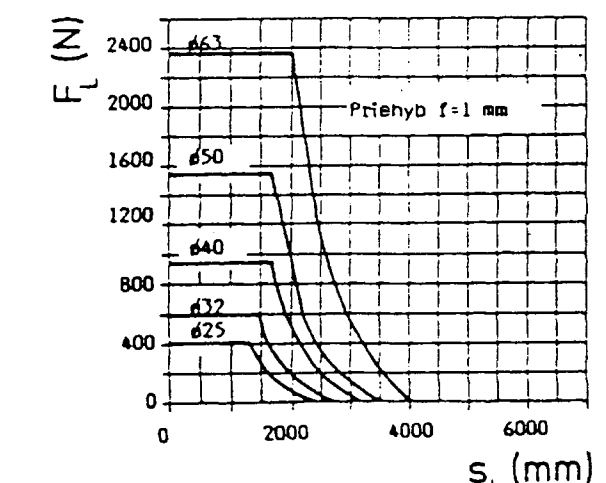
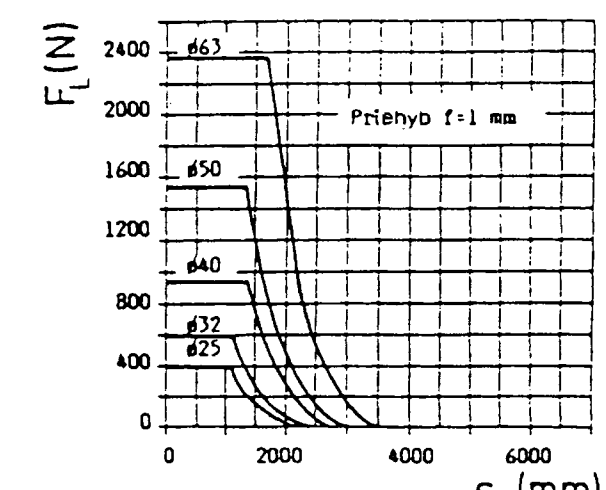
Bezpiestnicové pneumotory sa prehýbajú v dôsledku vlastnej hmotnosti a vonkajšieho zaťaženia v závislosti na vzdialenosťi jeho uchytenia. Maximálny príhyb je obmedzený hodnotami $z = 0,5 - 1$ mm. Výpočet minimálneho počtu medzi podperami:

$$t_{\min} = \frac{B1 + H}{s_1}, \quad (15)$$

kde $B1$ [mm] je konštrukčný parameter z tab. 3, H [mm] zdvih a s_1 [mm] je maximálna prípustná dĺžka medzi podperami, z diagramu obr. 8 pre zvolený príhyb $z = 0,5$ mm, alebo $z = 1$ mm.

Tab. 3

| D [mm] | 25 | 32 | 40 | 50 | 63 |
|---------|-----|-----|-----|-----|-----|
| B1 [mm] | 204 | 240 | 300 | 345 | 430 |



Obr. 8. Grafy maximálnych vzdialenosťí medzi podperami

7. Výpočet vzdialenosťí medzi upevneniami

Sú možné štyri prípady upevnenia bezpiestnicového priamočiareho pneumotora (vid' obr. 9):

$$l = \frac{B1 + H}{t_{\text{vol}}}, \quad (5.16)$$

kde pre prípad a) je $t_{\text{vol}} = 1$, b) je $t_{\text{vol}} = 1,5$, c) je $t_{\text{vol}} = 2$, d) je $t_{\text{vol}} = 2,5$.

Počet podpier pre prípady a), c) bude:

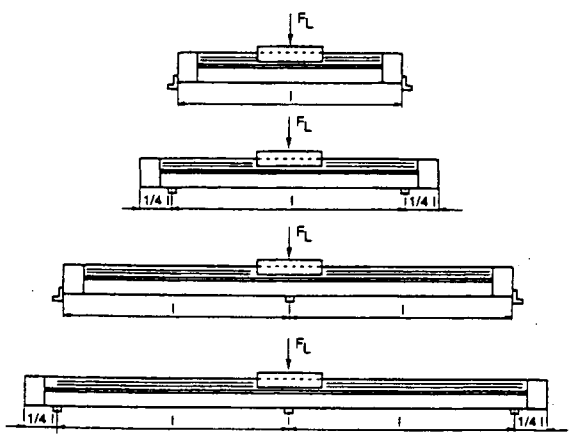
$$t = t_{vol} + 1 \quad (5.17)$$

a pre prípady b), d) bude počet podpier

$$t = t_{vol} + 0,5 \quad (5.18)$$

Správna volba upevnenia pneumotora musí spĺňať túto podmienku

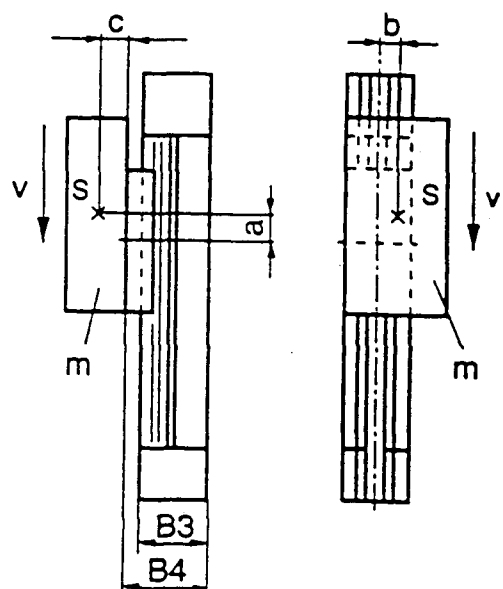
$$l \leq s_1 \quad (5.19)$$



Obr. 9. Pripady upevnenia bezpiestnicového pneumotora

Priklad 1

Vypočítajte hlavné parametre priamočiarho pneumotora, ktorý pracuje vo vertikálnej polohe. Pneumotor zdvíha bremeno o hmotnosti $m = 20$ kg rýchlosťou $v = 1,2 \text{ m.s}^{-1}$. Tlak vzduchu $p_1 = 0,65 \text{ MPa}$, zdvih $H = 750 \text{ mm}$, vzdialosť ťažiska telesa uchystaného na prírube a = 20 mm, b = 20 mm, c = 30 mm, zatážovacie sily, $F_L = 0$, $F_Q = 0$, vonkajší moment $M_S = 0$



Obr. 10. Výpočtová schéma k prikladu

Riešenie:

Dimenzovanie priemeru

Pre výpočet celkovej sily použijeme vzťah (2), kde $F_Z = 0 \text{ N}$, $\alpha = 0^\circ$ bude teda platiť:

$$F_C = m_{red} \cdot g = 20 \cdot 9,81 = 196,2 \text{ N}$$

Tlmiaca energia (9) je pre $p_{tl} = p_1 = 0,65 \text{ MPa}$, a $x = 1,7$:

$$W_{max} = \frac{m_{red} \cdot v^2}{2 \cdot x} = \frac{20 \cdot 1,2^2}{2 \cdot 1,7} = 8,47 \text{ N.m}$$

V tab. 1 nájdeme najbližšiu vyššiu hodnotu W_{max} a zvoľme príslušný pneumotor. V našom prípade bude priemer piesta $D = 40 \text{ mm}$, $W_{max} = 8,7 \text{ N.m}$ a $S = 12,5 \text{ cm}^2$.

Kontrola tlmenia pre zvolený pneumotor (3):

$$p_{tl} = p_1 - 10^{-2} \cdot \frac{F_C}{S} = 0,65 - 10^{-2} \cdot \frac{196,2}{12,5} = 0,49 \text{ MPa}$$

Zvolený pneumotor vyhovuje podmienke $p_{tl} < 1,2 \text{ MPa}$. Podľa vypočítanej hodnoty $p_{tl} = 0,49 \text{ MPa}$ skontrolujeme W_{max} . Z obr. 5 odčítame $x = 1,8$ a dosadíme:

$$W_{max} = \frac{m_{red} \cdot v^2}{2 \cdot x} = \frac{20 \cdot 1,2^2}{2 \cdot 1,8} = 8 \text{ N.m}$$

Aj táto hodnota je menšia ako uvádzaná v tab. 1 a preto zvolený pneumotor je správne dimenzovaný.

Zataženie vedenia

Z tab. 2 sú zvolené hodnoty $C_0 = 920 \text{ N}$, $M_t = 60 \text{ N.m}$, potom sily podľa (11), (12) budú:

$$F_t = \frac{m_{red} \cdot v^2}{2 \cdot H} = \frac{20 \cdot 1,2^2}{2 \cdot 0,75} = 19,2 \text{ N}$$

$$F_A = m_{red} \cdot g = 20 \cdot 9,81 = 196,2 \text{ N}$$

$$M_V = (F_t + F_A) \cdot b =$$

$$= (19,2 + 196,2) \cdot 20 \cdot 10^{-3} = 4,308 \text{ N.m}$$

$$M = (F_t + F_A) \cdot [c + (B4 - B3)] =$$

$$= (19,2 + 196,2) \cdot [0,03 + (0,093 - 0,082)] =$$

$$= 8,831 \text{ N.m}$$

$$F = F_L + 2 \cdot F_Q + \frac{C_0}{M_t} \cdot (2,7 \cdot M_S + 2 \cdot M_V + M) =$$

$$= 0 + 2 \cdot 0 + \frac{920}{60} \cdot (2,7 \cdot 0 + 2 \cdot 4,308 + 8,831) = 267,52 \text{ N}$$

Súčinatel' dynamickej únosnosti (14):

$$C = C_0 \cdot f_v = 920 \cdot 0,18 = 165,6 \text{ N},$$

kde $f_v = 0,18$ pri rýchlosťi $v = 1,2 \text{ m.s}^{-1}$ z obr. 10.

Prevádzková bezpečnosť (13):

$$s = \frac{C}{F} = \frac{165,6}{267,52} = 0,62$$

Musí platíť podmienka $s > 1$, vidíme, že vypočítaná hodnota $s = 0,62$ je menšia ako 1 a preto podmienka neplatí. Z viacerých možných riešení je zvoliť väčší priemer piesta $D = 50 \text{ mm}$ a znížiť rýchlosť pohybu na $v = 0,8 \text{ m.s}^{-1}$ a znova vypočítajte výpočet. Opäťovným dosadením do vzťahov dostaneme tieto hodnoty:

$$C_0 = 1500 \text{ N}$$

$$M_t = 120 \text{ N.m}$$

$$B3 = 98 \text{ mm}$$

$$B4 = 110 \text{ mm}$$

$$F_t = 8,53 \text{ N}$$

$$F_A = 196,2 \text{ N}$$

$$M_V = 4,095 \text{ N.m}$$

$$M = 8,599 \text{ N.m}$$

$$F = 209,86 \text{ N}$$

$$C = 390 \text{ N}$$

Pre $v = 0,8 \text{ m.s}^{-1}$ je hodnota $f_v = 0,26$ a prevádzková bezpečnosť $s = 1,86$. Hodnota je väčšia ako 1 a podmienka (13) je splnená.

Príklad 2

Navrhnite počet uchytení pre bezpiestnicový priamočiary pneumotor s $D = 50 \text{ mm}$, $H = 3000 \text{ mm}$, a zaťaženie $F_L = 1500 \text{ N}$, $z = 1 \text{ mm}$.

Minimálny počet vzdialenosť medzi podperami

Z tab. 3 určíme $B1 = 345 \text{ mm}$ pre $D = 50 \text{ mm}$ a z obr. 8 určíme hodnotu $s_1 = 1800 \text{ mm}$ pre silu $F_L = 1500 \text{ N}$ a volený prichyb $z = 1 \text{ mm}$.

$$t_{min} = \frac{B1 + H}{s_1} = \frac{345 + 3000}{1800} = 1,86$$

Odporúčaná vzdialenosť medzi podperami

Hodnota t_{min} sa zaokruhlíva vždy nahor. Pre náš prípad $t_{vol} = 2$. Napríklad ak by sa $t_{min} = 1,264$ potom $t_{vol} = 1,5$. Odporúčanú vzdialenosť uchytenia bude:

$$l = \frac{B1 + H}{t_{vol}} = \frac{345 + 3000}{2} = 1672,5 \text{ mm}$$

Počet uchytení (podper) podľa prípadu c) bude:

$$B = t_{vol} + 1 = 2 + 1 = 3.$$

Kontrola vzdialenosť medzi podperami

Kedže platí podmienka zo vzťahu (19), t.j. $l = 1672,5 \text{ mm} \leq s_1 = 1800 \text{ mm}$, bol navrhnutý správny počet uchytení.



Literatúra

- [1] STRÁŽOVEC, I., KRIŠŠÁK, P., MARTINKO, J.: Meranie a skúšanie tekutinových systémov, Žilinská univerzita v Žiline, Žilina 1998.
- [2] Faremné materiály Festo, SMC, Bosch Rexroth, [3] KOPÁČEK, J.: Pneumatické mechanizmy, díl 1., Ostrava, Ediční stredisko VŠB 1996.
- [4] KOPÁČEK, J.: Pneumatické mechanizmy, díl 2., Ostrava, Ediční stredisko VŠB 1997.
- [5] STN 10 9101: Priamočiare pneuostatické motory. Všeobecné požiadavky. Bratislava, STÚN 1982.
- [6] TURZA, J.: Hydraulicko-pneumatické zariadenie pre rehabilitáciu používacích stavov. VÚ DHP403114-Z, ZTS Dubnica nad Váhom, 1994.
- [7] KRCHNAR, J.: Modelovanie a simulácia tekutinových mechanizmov. SVŠT, Bratislava, 1991.